

05.3; 05.4

© 1992

НОВАЯ МЕТАСТАБИЛЬНАЯ ФАЗА  $YBa_2Cu_3O_{6+x}$ 

Д.В. Буянов, А.С. Рудый,  
Н.А. Рудь, А.Б. Чурилов

Известно, что ВТСП-керамика типа  $MBa_2Cu_3O_{6+x}$  может существовать в трех фазах: тетрагональной  $O_6$ , орторомбической  $O_7$  и промежуточной шестидесятиградусной  $O_{6.5}$ . Как правило, ВТСП-керамика является гетерофазной системой, содержащей блоки всех трех перечисленных фаз, свойства которых достаточно хорошо изучены. В настоящей работе сообщается о получении новой модификации гетерофазной системы  $YBa_2Cu_3O_{6+x}$  и результатах ее экспериментального исследования. Обнаружены поглощение на продольных (40) фонах кислородных мод и аномально большое значение низкочастотной диэлектрической проницаемости.

Для измерений использовались образцы, синтезированные методом твердофазных реакций по технологии, обеспечивающей минимальный выход вторых фаз. Спрессованная в таблетки керамика после десятичасового спекания при температуре выше 960 °C закаливалась в жидком азоте. Структура и фазовый состав полученных образцов контролировалась методами рентгеноструктурного анализа (РСА) и электронного парамагнитного резонанса (ЭПР). Образцы имели тетрагональную решетку с параметрами  $a = b = 3.852 \text{ \AA}$ ,  $c = 11.778 \text{ \AA}$  и, по данным РСА, не содержали вторых фаз. В ЭПР спектрах наблюдалось слабое поглощение ионами фазы 1-2-3. Происхождение ЭПР сигнала проверялось на образцах, окисленных до  $O_7$  при температуре 400 °C и небольшом избыточном давлении очищенного кислорода. В этих образцах резонансное поглощение отсутствовало, но наблюдалось нерезонансное при азотной температуре. Спектры пропускания измерялись при комнатной температуре на Фурье-спектрометре  $IFS - 113V$  с разрешением 2 см<sup>-1</sup>.

На рисунке 1, а приведен спектр пропускания, полученный непосредственно после закалки (кривая 1). Наблюдения за изменением ИК спектров в течение длительного времени показали, что их вид изменяется, и кривая 1 трансформируется в кривую 2. К такому же результату приводит отжиг в вакууме при температуре 200 °C. Кривые 2, 3 на рис. 1, а соответствуют спектрам пропускания образцов, отожженных в вакууме ( $p \sim 10^{-6} \text{ Torr}$ ) при температурах 200 и 300 °C в течение получаса и охлажденных напуском аргона. На рис. 1, б показана разность спектров 1, 3 и образующие ее линии. В настоящее время существуют различные

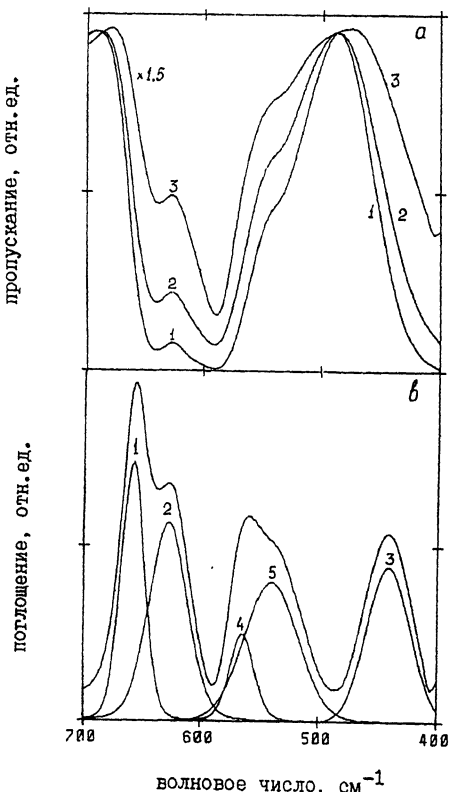


Рис. 1. а) Спектры пропускания керамики  $\text{UVa}_2\text{Cu}_3\text{O}_{6+x}$ : 1 - непосредственно после закалки в жидким азоте; 2, 3 - после полчасового отжига при температурах 200 и 300 °C; б) разность нормированных спектров 1, 3 и образующие ее линии: 1, 2, 3 -  $\text{LO}$ -фононы 659, 627, 440  $\text{cm}^{-1}$ ; 4 - межзонный электронный переход 565  $\text{cm}^{-1}$ ; 5 - полоса 539  $\text{cm}^{-1}$ , отнесенная в [3] к дефектам кристаллической решетки.

точки зрения [1, 2] на классификацию и природу полос, наблюдаемых в этой части ИК спектров систем 1-2-3. Для интерпретации разностного спектра нами использованы результаты работы [3], в которой по спектрам отражения восстановлены кривые дисперсии диэлектрической проницаемости и определены частоты  $\text{LO}$  и  $\text{TO}$  фононов. В этой работе линии 661 и 629  $\text{cm}^{-1}$ , отличающиеся от соответствующих им линий, представленных на рис. 1, б, не более чем на величину разрешения, отождествляются с  $\text{LO}$ -фононами мод  $A_{2u}$ : O1 и  $E_u$ : O2,3. Моды  $A_{2u}$ : O2,3 ( $\omega_L = 466 \text{ cm}^{-1}$ ) в нашем случае соответствует линия 440  $\text{cm}^{-1}$ . Лишняя с точки зрения теоретико-группового анализа полоса 530  $\text{cm}^{-1}$  в [3]

объясняется дефектностью структуры, а линия  $565 \text{ см}^{-1}$  отнесена к межзонному электронному переходу. Оба предположения хорошо согласуются с нашими данными: при отжиге выше  $300^\circ\text{C}$  пропадает полоса  $539 \text{ см}^{-1}$ , а при возрастании кислородной стехиометрии начиная с  $x=0.5$  относительная интенсивность линии  $565 \text{ см}^{-1}$  резко увеличивается. Таким образом аномальный вид спектров пропускания  $\text{U}\text{Ba}_2\text{Cu}_3\text{O}_{6+x}$  обусловлен наложением перечисленных выше линий на спектр ТО – фононов.

Временную и температурную зависимости интенсивности линий LO-фононов можно интерпретировать как релаксацию метастабильной фазы. Поскольку РСА не обнаруживает изменений симметрии решетки тяжелых ионов, то образование новой фазы, очевидно, связано с локальной перестройкой кислородной подсистемы. Такая перестройка может сопровождаться перераспределением кислорода и образованием областей с высокой и низкой кислородной стехиометрией. Предположения о существовании гетерофазных структур, состоящих из заключенных в полупроводниковую матрицу доменов металлической фазы, высказывались и ранее. В работе [4] с ними связывается сравнительно большое значение диэлектрической проницаемости ( $\epsilon_{max}=400$ ) у- $\text{Ba}-\text{Cu}-\text{O}$ . Представленные на рис. 2 петли гистерезиса  $P(E)$  керамики  $\text{U}\text{Ba}_2\text{Cu}_3\text{O}_{6+x}$  и температурная зависимость вещественной части диэлектрической проницаемости  $\epsilon'(T)$  подтверждают это предположение. В исследуемой системе отсутствие спонтанной и остаточной поляризации сочетается с большими значениями проницаемости и потерь ( $\epsilon''/\epsilon' \sim 1$ ). Такое поведение, характерное для поляризации по типу Максвелла–Багнера, свидетельствует о большой пространственной неоднородности проводимости системы. Косвенным доказательством существования областей с высокой кислородной стехиометрией (возможно, сверхстехиометрией) может служить изменение количества парамагнитных центров после отжига. Если ЭПР-сигнал закаленной тетрагональной структуры очень слаб, что означает отсутствие кислорода в позициях O4.5, то после отжига в вакууме при  $T \leq 300^\circ\text{C}$  интенсивность линии  $\text{Cu}^{2+}$  возрастает в 2–10 раз. Измерения кислородной стехиометрии после отжига показывают, что у образцов с десятикратным увеличением ЭПР-сигнала  $x=0.5$ .

Еще одним аргументом в пользу гетерофазной модели является зависимость интенсивности линий ТО-фононов от степени неоднородности системы. В гетерофазной системе интенсивность линий должна быть выше, что хорошо согласуется с результатами эксперимента (рис. 1, а), т.к. рэлеевское рассеяние на доменах металлической фазы увеличивает оптическую длину пути. Взаимодействие ИК излучения с LO-фоном может быть объяснено в рамках рассмотренной модели, если учесть возможность образования на границе металл–полупроводник барьераного слоя типа барьера Шоттки. Тогда ангармонизм колебаний ионов барьераного слоя, смещенных из положений равновесия, увеличивает вероятность двухфононных процессов, при которых поглощение на LO-фононе не нарушает закона сохранения импульса. Кроме того, взаимодей-

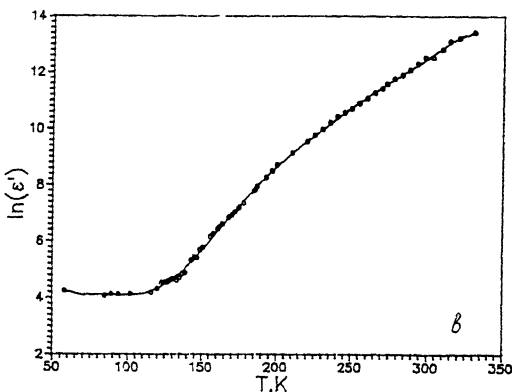
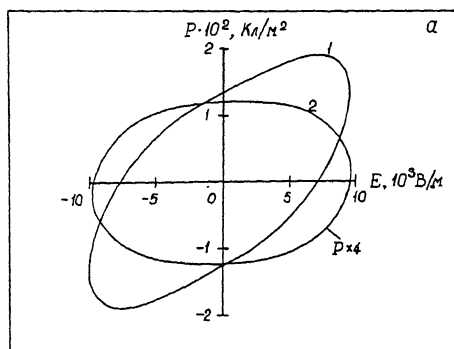


Рис. 2. Низкочастотная поляризация  $\text{YBa}_2\text{Cu}_3\text{O}_{6+x}$ . а) Петли гистерезиса: 1 – на частоте 0.05 Гц, 2 – 0.5 Гц; б) температурная зависимость вещественной части диэлектрической проницаемости на частоте 0.05 Гц.

ствие продольных волн поляризации с дипольным моментом барьера Шоттки, в силу релаксационного характера колебаний последнего, должно приводить к уменьшению чисел заполнения LO-фононов и увеличению коэффициента поглощения  $\alpha(\omega_L)$ .

Таким образом, получена новая модификация гетерофазной системы  $\text{YBa}_2\text{Cu}_3\text{O}_{6+x}$ , характерной особенностью которой является значительная пространственная неоднородность кислородной стехиометрии. Последняя проявляется в большом значении низкочастотной диэлектрической проницаемости, обусловленной поляризацией Максвелла-Вагнера, и в активизации LO-фононов в ИК поглощении. Результаты непосредственного определения частоты LO-фононов хорошо согласуются с данными косвенных измерений, выполненных в работе [3], и подтверждают приведенную в ней классифи-

кацию дипольно-активных мод. Показано также, что полученная гетерофазная система  $YBa_2Cu_3O_{6+x}$  содержит метастабильную фазу, релаксирующую при нагревании в одну из известных фаз:  $O_6$ ,  $O_7$  или  $O_{6.5}$ .

### С п и с о к л и т е р а т у р ы

- [1] Tom sen C., Cardona M., Kress W. et al. // Sol. St. Comm. 1988. V. 65. N 10. P. 1139-1144.
- [2] Crawford M.K., Burnss G., Hoitberg F. // Sol. St. Comm. 1989. V. 70. N 5. P. 557-560.
- [3] Баженов А.В., Тимофеев В.Б. // СФХТ. 1990. Т. 3. В. 6. С. 1174-1188.
- [4] Ищук В.М., Квичко Л.А., Семиноженко и др. // Письма в ЖЭТФ. 1989. Т. 49. В. 5. С. 341-342.

Поступило в Редакцию  
25 июля 1992 г.